

Analysis of the Spatial and Temporal Distribution and Changes of Thunderstorms in Southern Iran over the Last Three Solar Cycles

Hassan Lashkari ¹✉ , Zainab Mohammadi ² , Mohammad Naji ³ , Alireza Fadaei Bash ⁴

1. (Corresponding Author) Department of Physical Geography, Faculty of Earth Sciences, Shahid Beheshti University, Tehran, Iran
Email: h-Lashkari@sbu.ac.ir

2. Department of Physical Geography, Faculty of Earth Sciences, Shahid Beheshti University, Tehran, Iran
Email: z_mohammadi@sbu.ac.ir

3. Department of Physical Geography, Faculty of Earth Sciences, Shahid Beheshti University, Tehran, Iran
Email: mo_naji@sbu.ac.ir

4. Department of Physical Geography, Faculty of Earth Sciences, Shahid Beheshti University, Tehran, Iran
Email: aseemoniha@gmail.com

Article Info

Article type:
Research Article

Article History:

Received:
5 August 2024

Received in revised form:
19 October 2024

Accepted:
25 November 2024
Available online:
26 December 2024

Keywords:

Interpolation,
Thunderstorm,
Spatial Analysis,
Southern Iran,
Solar Cycle.

ABSTRACT

Thunderstorms, one of the most common and characteristic phenomena of convective systems, can cause severe damage and psychological impacts on individuals. In this study, thunderstorm-related codes from synoptic meteorological stations with complete records during each solar cycle were extracted from the dataset of the Iranian Meteorological Organization over a 33-year statistical period, corresponding to solar cycles 22, 23, and 24 (1986–2018). The Inverse Distance Weighting (IDW) interpolation method was applied to illustrate the spatiotemporal variations of thunderstorms. The findings indicate that the frequency of thunderstorm events does not follow a regular pattern across solar cycles 22 to 24, with the highest occurrence observed during cycle 23. Overall, during the 33 years, 1997 recorded the highest number of thunderstorms, while the lowest occurred in 1990. In terms of spatial distribution, during the cold seasons, when Sudanese low-pressure systems are the dominant atmospheric pattern, the highest concentration of thunderstorm events was recorded at Bushehr station, with a decreasing trend toward the east and north. In contrast, the lowest frequencies were observed at Siri Island and Bandar Lengeh stations. The peak occurrences were reported in December and January, particularly at Bushehr during the cold months, whereas during summer, due to the influence of monsoon systems, a notable eastward shift in thunderstorm hotspots was evident, especially at Bandar Abbas, Lar, and Hajjiabad stations.

Cite this article: Lashkari, H., Mohammadi, Z., Naji, M., & Fadaei Bash, A. (2024). Analysis of the Spatial and Temporal Distribution and Changes of Thunderstorms in Southern Iran over the Last Three Solar Cycles. *Physical Geography Research Quarterly*, 56 (4), 89-106.

<http://doi.org/10.22059/JPHGR.2025.387701.1007864>



© The Author(s).

Publisher: University of Tehran Press

Extended Abstract

Introduction

Natural hazards claim thousands of lives worldwide each year, with a significant portion of these fatalities attributed to weather-related hazards. Thunderstorms, regional floods, and other severe weather events are examples of such hazards. Thunderstorms are localized, mesoscale weather systems that develop within a limited area of 20 to 50 kilometers and depend on the height of convective clouds. Rainfall associated with thunderstorms and accompanying weather systems, coupled with lightning, are complex and composite atmospheric phenomena. Due to their unique dynamic and structural characteristics, these events typically negatively impact the natural environment, infrastructure, civil structures, transportation systems, and social activities. With its topographic features, large-scale climate systems influencing the region, and access to moisture sources from the southern warm seas, Southern Iran is susceptible to thunderstorm formation. This study uses station data to analyze the spatial variations in thunderstorm frequency over three solar cycles (22, 23, and 24). The relationship between thunderstorm frequency and solar cycles is of particular interest, as variations in solar radiation can influence atmospheric and climatic processes. Analyzing these changes contributes to a better understanding of the temporal and spatial patterns of thunderstorm occurrences and identifying high-risk areas. Moreover, these studies can provide a solid foundation for disaster risk management planning and more accurate weather forecasts in affected regions.

Methodology

For this study, data on thunderstorm occurrences was collected from 24-hour observational reports provided by the Iranian Meteorological Organization, covering a long-term period from 1986 to 2018. The study period was specifically selected to align with three 11-year solar cycles (Cycles 22, 23, and 24). This long-term and comprehensive dataset allows for examining the potential impacts of solar cycle variations on thunderstorm occurrence and intensity. Solar Cycle 22 spans from 1986 to 1996, Cycle 23 from 1997 to 2007, and

Cycle 24 from 2008 to 2018. Therefore, in addition to analyzing the temporal and spatial variations of thunderstorms within each solar cycle, this research also compares these variations across different cycles. In the next step, the data obtained from the Iranian Meteorological Organization's database was organized and sorted in Excel based on stations and corresponding regions. For more accurate analysis, days with recorded thunderstorm occurrences in 6-hourly observational reports were extracted for each station and month of the year. Subsequently, the frequency of thunderstorm occurrences was calculated for each year within the 33-year study period (1986-2018). The Inverse Distance Weighting (IDW) method was employed to analyze and visualize the spatiotemporal variations of thunderstorms. This analysis was conducted on a monthly average basis for each solar cycle. In this phase, thunderstorm data and the stations' geographical coordinates were entered into ArcMap software. Subsequently, using the IDW method, spatial distribution maps of the data were generated, and the resulting outputs were prepared for spatial analysis and the examination of spatiotemporal patterns.

Results and discussion

The primary findings of this research can be summarized as follows. In terms of temporal distribution, the frequency of thunderstorm occurrences did not follow a consistent pattern from Solar Cycle 22 to 24. Solar Cycle 23 exhibited the highest frequency of thunderstorms compared to the preceding and succeeding cycles. The analysis of temporal distribution revealed that the highest number of occurrences was reported during the years of Solar Cycle 24, indicating a significant influence of solar activity on this phenomenon. For instance, within this cycle, the peak frequency was recorded in 2009 (the beginning of the cycle), while the lowest was in 2016 (towards the end of the cycle). Overall, during the 33-year study period, the highest number of thunderstorms occurred in 1997 and the lowest in 1990.

In terms of monthly distribution, the highest frequency of thunderstorms was observed in December and January, while the lowest occurred in September. Regarding spatial

distribution, the thunderstorm hotspot was located over the Bushehr station during colder months when Sudanese systems dominate. This hotspot exhibited a decreasing trend towards the east and north. Another hotspot was observed over Bandar Abbas and Shiraz stations in February and April. The spatial distribution pattern in the early spring months resembled that of the cold months. However, in the final month of spring and throughout summer, the spatial pattern of thunderstorm occurrences changed significantly, with hotspots shifting eastward to stations such as Lar and Bandar Abbas. This phenomenon indicates the undeniable impact of topographic conditions on the intensification of incoming systems over the region.

Conclusion

Due to their unique dynamic and structural characteristics, thunderstorms cause widespread devastation to the environment, infrastructure, transportation systems, and social activities. Beyond inducing psychological distress among affected populations, these phenomena pose significant challenges to aviation and maritime operations. Neglecting the impacts of thunderstorms can lead to fatal accidents for passengers, pilots, and crew members of both air and sea vessels. With its distinctive topography, influence of large-scale climate systems, and proximity to the warm southern seas, Southern Iran provides a conducive environment for thunderstorm formation. The findings of this study reveal that November experiences the highest frequency of reported thunderstorms in Southern Iran. Bushher Airport meteorological station records the most frequent occurrences during this month and is identified as one of the primary entry points for storm systems from the southwest into the country's coastline. Furthermore, an increase in thunderstorm activity is observed around Bandar Abbas in March. Results indicate that the peak thunderstorm activity in Southern Iran occurs during the autumn season, although significant activity is also recorded in spring. Nevertheless, thunderstorms can occur throughout the year. A detailed analysis of monthly and seasonal frequencies reveals that May, April,

June, and October exhibit the highest occurrence rates.

Funding

There is no funding support.

Authors' Contribution

All of the authors approved the content of the manuscript and agreed on all aspects of the work.

Conflict of Interest

Authors declared no conflict of interest.

Acknowledgments

We are grateful to all the scientific consultants of this paper.



واکاوی پراکنش و تغییرات زمانی-مکانی توفان‌های تندری در جنوب ایران در سه چرخه خورشیدی اخیر

حسن لشکری^۱✉، زینب محمدی^۲، محمد ناجی^۳، علیرضا فدایی‌باش^۴

۱- نویسنده مسئول، گروه جغرافیای طبیعی، دانشکده علوم زمین، دانشگاه شهید بهشتی، تهران، ایران. رایانامه: h-Lashkari@sbu.ac.ir

۲- گروه جغرافیای طبیعی، دانشکده علوم زمین، دانشگاه شهید بهشتی، تهران، ایران. رایانامه: z_mohammadi@sbu.ac.ir

۳- گروه جغرافیای طبیعی، دانشکده علوم زمین، دانشگاه شهید بهشتی، تهران، ایران. رایانامه: mo_najji@sbu.ac.ir

۴- گروه جغرافیای طبیعی، دانشکده علوم زمین، دانشگاه شهید بهشتی، تهران، ایران. رایانامه: aseemoniha@gmail.com

اطلاعات مقاله	چکیده
نوع مقاله: مقاله پژوهشی	توفان‌های تندری، به عنوان یکی از پدیده‌های متداول و شاخص سامانه‌های هم‌رفته، موجب خسارت‌های شدید و آثار روانی بر افراد می‌شوند. بدین منظور، ابتدا کدهای مربوط به پدیده توفان تندری در دوره آماری ۳۳ ساله که متناظر با سیکل‌های ۲۲ و ۲۴ خورشیدی (۱۹۸۶-۲۰۱۸) بودند از داده‌های سازمان هوافضایی کشور برای ایستگاه‌های سینوپتیک که در هر چرخه اقلیمی دارای آماره کامل بوده‌اند، استخراج گردید. در ادامه به‌منظور نمایش تغییرات زمانی-مکانی توفان‌های تندری، از روش IDW استفاده شد. یافته‌های این پژوهش نشان می‌دهد که از چرخه خورشیدی ۲۲ الی ۲۴، فراوانی رخداد توفان‌های تندری از الگوی منظمی پیروی نمی‌کند و چرخه ۲۳ بالاترین رخدادها را داشته است. در مجموع در دوره آماری ۳۳ ساله بالاترین رخداد مربوط به سال ۱۹۹۷ و کمترین رخداد توفان تندری در سال ۱۹۹۰ گزارش شده است. از لحاظ پراکنش مکانی توفان‌های تندری در فصول سرد سال که سامانه‌های سودانی پدیده غالب این دوره از سال می‌باشد هسته پر رخداد توفان‌های تندری بر روی ایستگاه بوشهر قرار دارد. این هسته پر رخداد به سمت شرق و شمال روندی کاوشی دارد. در حالی که ایستگاه‌های جزیره سیبری و بندرلنگه کمترین میزان را داشته‌اند. بیشترین رخداد در ماه‌های دسامبر و ژانویه و از نظر مکانی در ماه‌های سرد بر ایستگاه بوشهر مرکز است در حالی که در تابستان جابجایی هسته‌ها به سمت شرق، به‌ویژه در ایستگاه‌های بندرعباس، لار و حاجی‌آباد، به دلیل فعالیت سامانه‌های مونسونی، قابل توجه بود.
تاریخ دریافت: ۱۴۰۳/۰۵/۱۵	وازگان کلیدی: توفان تندری، چرخه خورشیدی، تحلیل فضایی، درون‌بازی، جنوب ایران
تاریخ بازنگری: ۱۴۰۳/۰۷/۲۸	
تاریخ پذیرش: ۱۴۰۳/۰۹/۰۵	
تاریخ چاپ: ۱۴۰۳/۱۰/۰۸	

استناد: لشکری، حسن؛ محمدی، زینب؛ ناجی، محمد و فدایی‌باش، علیرضا. (۱۴۰۳). واکاوی پراکنش و تغییرات زمانی-مکانی توفان‌های تندری در

جنوب ایران در سه چرخه خورشیدی اخیر. مجله پژوهش‌های جغرافیای طبیعی، ۵(۳)، ۸۹-۱۰۶

<http://doi.org/10.22059/JPHGR.2025.387701.1007864>



مقدمه

مخاطرات طبیعی هرساله در نقاط مختلف جهان جان هزاران انسان را می‌گیرد و درصد بالایی از این تلفات محصول مخاطرات آب‌وهوایی بوده است. از انواع مخاطرات آب‌وهوایی می‌توان توفان‌های تندری، سیل منطقه‌ای و... را نام برد (لشکری و همکاران، ۱۳۹۵: ۱۳۶). توفان‌های تندری، سامانه‌های آب‌وهوایی محلی و متوسط مقیاسی هستند که در یک منطقه محدود ۲۰ تا ۵۰ کیلومتر شکل‌گرفته و به ارتفاع ابرهای جوششی بستگی دارند (Adelekan., 1998: 1273). این توفان‌ها علاوه بر آذرخش و بادهای شدید، اغلب با بارش‌های شدید نیز همراه هستند (Barry & Hall-McKim., 2014: 138). درواقع توفان تندری جزء پدیده‌های مخرب اقلیمی محسوب می‌شود که همه‌ساله خسارت جبران‌ناپذیری را به صورت تگرگ، بارش‌های سیل‌آسا و رعدوبرق به تأسیسات، مزارع و منازل وارد می‌کند (لشکری و آفاسی، ۱۳۹۲: ۲۱۵). معمصوم پور سماکوش و همکاران، ۱۴۰۱: ۱۴۸).

ایران به دلیل موقعیت جغرافیایی خاص خود همواره با چالش‌های اساسی در زمینه تأمین منابع آبی مواجه بوده است (معصوم پور سماکوش و فجاد، ۱۳۹۴: ۲۲۸). این کشور، که بخش عمده‌ای از آن در مناطق خشک و نیمه‌خشک قرار دارد، به طور چشمگیری به منابع آبی ناشی از بارش‌ها وابسته است (عساکره و رزمی، ۱۳۹۰: ۱۳۸). درواقع بارش‌های ناشی از توفان‌های تندری و سامانه‌های جوی همراه با رعدوبرق از جمله پدیده‌های جوی پیچیده و ترکیبی محسوب می‌شوند (گرامی و همکاران، ۱۴۰۱: ۹۷). این پدیده به دلیل ویژگی‌های ترمودینامیکی و ساختاری خاص خود، معمولاً اثرات تخریبی گسترده‌ای بر محیط طبیعی، زیرساخت‌ها، سازه‌های عمرانی، سامانه‌های حمل و نقل و فعالیت‌های اجتماعی بر جای می‌گذارند (فدایی‌باش، ۱۴۰۳: ۳). این پدیده علاوه بر آثار روانی منفی بر روی ساکنین این مناطق، آثار بسیار مهمی در حمل و نقل هوایی و دریایی دارد که عدم توجه به آن می‌تواند خطرات مرگباری برای مسافران و خدمه و خلبانان و خدمه کشتی‌ها داشته باشد.

منطقه جنوب ایران با توجه به ویژگی‌های توپوگرافی، سامانه‌های اقلیمی بزرگ‌مقیاس مؤثر بر منطقه، دسترسی به منابع رطوبتی دریاهای گرم جنوبی مستعد شکل‌گیری توفان‌های تندری می‌باشد (لشکری و حجتی، ۱۳۹۱: ۱۴). این منطقه از مهم‌ترین مناطق تجاری، بندرگاهی و صنعتی کشور ایران است. از سوی دیگر، چرخه‌های خورشیدی در حدفاصل‌های زمانی ۱۰ تا ۱۱ ساله، نوساناتی در فعالیت‌های مغناطیسی و تابشی خورشید ایجاد می‌کنند که بر سیستم‌های اقلیمی و جوی زمین اثر می‌گذارند (عزیزی، ۱۳۸۳: ۶۸). ارتباط احتمالی میان چرخه‌های خورشیدی و وقوع توفان‌های تندری همچنان به عنوان یک پژوهش علمی حل نشده باقی‌مانده است. شواهد تجربی در این زمینه متناقض بوده و نتایج پژوهش‌های مختلف تفاوت‌های قابل توجهی را نشان می‌دهند. برخی مطالعات از وجود همبستگی ضعیفی میان افزایش فعالیت خورشیدی و فراوانی وقوع رعدوبرق حکایت دارند، درحالی که تحقیقات دیگر، شواهد معناداری برای تأیید این رابطه ارائه نکرده‌اند. (Pustil'nik & Din., 2007:780; Ansari., 2004:335).

لذا در این پژوهش با توجه به این خلاً دانشی، تلاش می‌شود با استفاده از داده‌های ایستگاهی به تحلیل آماری و بررسی تغییرات مکانی-زمانی فراوانی توفان‌های تندری، و همچنین همخوانی آن در سه چرخه خورشیدی^۱ ۲۲، ۲۳ و ۲۴ پرداخته شود. تحلیل این تغییرات به درک بهتر الگوهای زمانی و مکانی رخداد توفان‌های تندری و شناسایی مناطق پرخطر کمک می‌کند.

توفان‌های تندری به عنوان پدیده‌های جوی مهم و تأثیرگذار، همواره مورد توجه پژوهشگران علوم جوی و اقلیمی بوده

1. Solar cycle

است. دای در تحلیل تغییرات روزانه فراوانی وقوع انواع مختلف بارش و توفان‌های تندri در سطح جهانی طی سال‌های ۱۹۷۵ تا ۱۹۹۷، به این نتیجه رسید که بارش‌های رگباری و توفان‌های تندri غالباً در ساعت بعدازظهر و در مناطق خشک و نیمهخشک در تمام فصول سال بیشتر مشاهده می‌شوند (Dai., 2001: 1092). تافرنر و همکاران رشد و گسترش توفان‌های تندri شدید در حوضه آبریز بالای دانوب را مورد تجزیه و تحلیل قرار دادند. آن‌ها نتیجه گرفتند که تکوین سریع این توفان‌ها در محل تشکیل، تأثیر زیادی در بارش‌های سنگین و سرعت بالای بادها در اروپای مرکزی دارد (Tafferner et al., 2008: 211). لوگینوف و همکاران، تغییرات توفان‌های تندri و ویژگی‌های شکل‌گیری آن‌ها را در کشور بلاروس موردنبررسی قرار دادند. نتایج نشان داد که وقوع این پدیده در مناطق کوهستانی به‌طور قابل توجهی بیشتر از سایر مناطق است (Loginov et al., 2010: 175). پینو و همکاران در مطالعه‌ای تغییرات بلندمدت روزهای رعدوبرق در جنوب شرقی برزیل انجام دادند. نتایج نشان داد فعالیت توفان‌های تندri در این مناطق افزایش داشته و با رخداد النینو و لانینا در ارتباط است (Pinto et al., 2013: 5231). گالانکی و همکاران، توفان‌های تندri بر اساس مشاهدات ابرها و رخداد رعدوبرق در مدیترانه را بررسی کردند. نتایج نشان داد، شرایط توپوگرافی محلی و چرخه روزانه تابش خورشید در رخداد توفان‌های تندri منطقه نقش اساسی‌تری را بر عهده دارند (Galanaki et al., 2018: 136). تازارک و همکاران، نشان دادند زمانی که یک توفان تندri توسعه پیدا کند احتمال شدید شدن آن در آمریکا بیشتر از اروپا است (Taszarek et al., 2020: 10239). پیتروتی و همکاران در پژوهشی به بررسی وقوع توفان‌های تندri در شمال اروپا با بهره‌گیری از شاخص‌های ترمودینامیکی پرداختند (Pizzuti., 2020: 20065).

در ایران نیز لشکری و همکاران (۱۳۹۵) به تحلیل توفان تندri استان کهگیلویه پرداختند. نتایج نشان داد که عامل به وجود آورنده این تندرها، سامانه‌های سودانی بوده که به دلیل برخورداری از پتانسیل رطوبت پذیری بالا و دریافت رطوبت فراوان از دریاهای گرم عرب و عمان و دریای سرخ از انرژی پتانسیل بالای برخوردار هستند. عزیزی و همکاران (۱۳۹۶) به تحلیل فضایی توفان‌های تندri در گستره کشور ایران طی سال‌های ۱۹۹۱ الی ۲۰۱۰ پرداختند. نتایج نشان می‌دهد که بیشترین توفان‌های تندri سالانه در شمال غرب ایران رخ می‌دهد و کمترین میزان آن بر نواحی مرکزی و شرقی کشور منطبق است. فرجی و همکاران (۱۳۹۴) به واکاوی همدیدی الگوهای زمانی و مکانی بارش‌های در استان زنجان پرداختند. نتایج نشان داد میانگین فراوانی بارش تندri مربوط به قسمت‌های شمال شرقی، مرکزی و جنوب و جنوب شرقی استان بوده است و بیشترین ضریب تغییرات نیز منطبق بر این نواحی می‌باشد. قسمت‌های غربی و شرقی استان کمترین میانگین تندri را داشته‌اند و پایین‌ترین ضریب تغییرات را نیز دارا می‌باشند. محمدی و همکاران (۱۳۹۵) به تحلیل توفان‌های تندri با بارش بیش از ۱۰ میلی‌متر ایستگاه سینوپتیک اهواز طی بازه زمانی ۲۰۰۰ الی ۲۰۱۳ پرداختند و دو الگوی تأثیرگذار بر این بارش‌ها را شناسایی کردند. معصوم و همکاران (۱۳۹۵) به واکاوی آماری - همدیدی توفان‌های تندri سواحل جنوبی ایران پرداختند. نتایج نشان داد روند مکانی این پدیده از غرب به شرق کاهش می‌یابد و پتانسیل رخداد آن در استان بوشهر بیش از هرمزگان است. از نظر زمانی، بیشترین رخداد این پدیده در پاییز با ۴۵ و زمستان با ۴۳ درصد ثبت شده است. در مقیاس ساعتی تفاوت قابل توجهی در ساعت مختلف مشاهده نمی‌شود و امکان رخداد آن در تمامی ساعتها به‌ویژه ساعت‌های صبح محلی وجود دارد. برنا (۱۳۹۷) به بررسی آماری - همدیدی توفان‌های تندri استان خوزستان پرداخت. نتایج نشان داد که از نظر شدت و فراوانی، بیشترین رویداد توفان‌های تندri در مناطق شمال و شمال شرق استان و کمترین آن در مناطق جنوب غربی می‌باشد. مجرد و همکاران (۱۳۹۸) به تحلیل زمانی - مکانی توفان‌های تندri در ایران پرداختند. نتایج آن‌ها نشان داد بیشترین توفان‌های تندri در شمال غرب و غرب کشور حوالی ایستگاه‌های ارومیه، تبریز، خوی، خرم‌آباد و نیز جنوب کشور حوالی ایستگاه بوشهر رخ می‌دهد. فلک و همکاران (۱۳۹۹) به تحلیل زمانی و

مکانی توفان‌های تندری جنوب غربی ایران پرداختند. نتایج تحلیل سالانه نشان داد، فراوانی توفان‌های تندری ایستگاه دزفول با ۴۷۹ پدیده بیشترین و رامهرمز با تعداد ۲۵۲ رخداد کمترین را در ایستگاه‌ها ثبت کرده است. همچنین در تحلیل فصلی، بهار بیشترین توفان با عدد ۱۳۷ و تابستان با ۱۰ فراوانی کمترین توفان را به خود اختصاص داده است. داناییانی و همکاران (۱۴۰۲) توفان‌های تندری در ایران را مورد تجزیه و تحلیل قرار دادند. نتایج این پژوهش نشان داد که توفان‌های تندری از نظر مکانی در تمام گستره ایران رخ می‌دهند. با این حال فراوانی این پدیده در شمال غرب، جنوب غرب و جنوب شرق ایران بیش از سایر بخش‌های دیگر است. خسروی و رستمی جلیلیان (۱۳۹۳)، ارتباط بارش ایران با چرخه لکه‌های خورشیدی در ایران را بررسی کردند. نتایج نشان داد هر چه از عرض‌های جغرافیایی پایین‌تر به سمت عرض‌های بالا می‌رویم، ارتباط بین چرخه لکه‌های خورشیدی و بارش از مقادیر منفی به سمت مقادیر مثبت می‌رود، در نتیجه در عرض‌های پایین تغییرپذیری ۶۶ ساله بارش و تعداد لکه‌های خورشیدی رفتار معکوس و در عرض‌های بالا رفتار مشابه پیدا می‌کند. نتایج پیشینه پژوهش‌ها نشان می‌دهند که توفان‌های تندری پدیده‌های جوی تأثیرگذار و متغیر در مناطق مختلف جهان و ایران هستند. این پدیده‌ها تحت تأثیر عوامل مختلف همچون شرایط توپوگرافی، تابش خورشید، و سامانه‌های جوی خاص قرار دارند. در ایران، مطالعات مختلف نشان داده‌اند که بیشترین توفان‌های تندری در مناطق شمال غرب، جنوب غرب، و جنوب کشور به وقوع می‌پیوندد، و فصل‌های پاییز و زمستان بیشترین فراوانی را در رخدادهای این پدیده دارند. با توجه به پراکندگی و تأثیرات قابل توجه توفان‌های تندری در مناطق مختلف ایران، تحلیل آماری و فضایی ماهانه این پدیده‌ها، بهویژه در جنوب کشور، ضروری به نظر می‌رسد. این تحلیل می‌تواند به درک بهتر الگوهای زمانی و مکانی رخداد توفان‌ها کمک کرده و در برنامه‌ریزی‌های مدیریت مخاطرات طبیعی و پیش‌بینی شرایط جوی دقیق‌تر، مؤثر واقع شود.

روش پژوهش

برای انجام این پژوهش، داده‌های مربوط به پدیده توفان‌های تندری از گزارش‌های دیدبانی سازمان هواشناسی کشور، برای یک دوره آماری بلندمدت از سال ۱۹۸۰ تا ۲۰۱۸، جمع‌آوری و تحلیل شد. دوره آماری این مطالعه به‌گونه‌ای انتخاب شده که با سه چرخه خورشیدی ۱۱ ساله (چرخه‌های ۲۲ تا ۲۴) مطابقت داشته باشد. انتخاب این دوره زمانی، علاوه بر پوشش دهی بلندمدت و جامع تغییرات اقلیمی، امکان بررسی اثرات احتمالی تغییرات چرخه‌های خورشیدی بر وقوع و شدت توفان‌های تندری را فراهم می‌آورد. چرخه خورشیدی شماره ۲۲ در بازه زمانی ۱۹۸۶ تا ۱۹۹۶ رخ داده و پیشینه فعالیت فعالیت آن در سال ۱۹۸۹ مشاهده شده است. چرخه خورشیدی ۲۳ طی دوره ۱۹۹۷ تا ۲۰۰۷ ادامه داشته و پیشینه فعالیت آن در سال‌های ۲۰۰۰ و ۲۰۰۱ ثبت شده است. همچنین، چرخه خورشیدی ۲۴ در فاصله زمانی ۲۰۰۸ تا ۲۰۱۸ جریان داشته و پیشینه فعالیت خورشیدی آن بین سال‌های ۲۰۱۱ تا ۲۰۱۴ به وقوع پیوسته است. با توجه به اینکه هدف اصلی این پژوهش تحلیل الگوهای آماری و فضایی توفان‌های تندری در مناطق جنوبی ایران است، به منظور بهره‌گیری حداکثری از داده‌های ایستگاه‌های دیدبانی و تعیین گستره اثر این پدیده، تنها ایستگاه‌هایی که در هر دوره دارای داده‌های کامل بودند، در محاسبات لحاظ شدند. بر همین اساس، تعداد ایستگاه‌های مورداستفاده در هر دوره ممکن است با دوره‌های دیگر متفاوت باشد. در دوره اول، ۱۰ ایستگاه، در دوره دوم، ۱۶ ایستگاه و در دوره سوم، ۳۰ ایستگاه با داده‌های کامل شناسایی و در تحلیل وارد شدند. لذا در این تحقیق علاوه بر این که تغییرات زمانی و مکانی توفان‌ها در هر چرخه خورشیدی بررسی و تحلیل شده است تغییرات زمانی و مکانی بین چرخه‌ها نیز مورد مقایسه قرارگرفته است. در گام بعدی، اطلاعات دریافت شده از پایگاه داده سازمان هواشناسی کشور بر اساس ایستگاه‌ها و مناطق مربوطه، در نرم‌افزار Excel سازمان دهی و مرتب‌سازی شد. به منظور تحلیل دقیق‌تر، روزهایی که وقوع توفان تندری در گزارش‌های دیدبانی ۶ ساعته ثبت شده بود،

به تفکیک هر ایستگاه و در هر ماه از سال استخراج گردید. سپس فراوانی وقوع توفان‌های تندri در هر سال از دوره آماری ۳۳ ساله (۱۹۸۶ تا ۲۰۱۸) محاسبه شد. این محاسبات با هدف تحلیل روند تغییرات زمانی و فراوانی این پدیده انجام گرفت. همچنین فراوانی وقوع توفان تندri در هر ایستگاه طی این بازه زمانی در اکسل محاسبه و ترسیم شد.

در ادامه به منظور گسترش داده‌ها در سطح و نمایش تغییرات زمانی-مکانی توفان‌های تندri، از روش وزن دهی معکوس فاصله (IDW¹) استفاده شده است. این تحلیل به صورت میانگین ماهانه و برای هر چرخه خورشیدی انجام شده است. روش وزن دهی معکوس فاصله بر پایه قانون تیلور یا قانون اول جغرافیا عمل می‌کند، که بیان می‌دارد واحدهای جغرافیایی نزدیک‌تر تأثیر بیشتری بر یکدیگر دارند. این روش، صرف‌نظر از موقعیت و آرایش نقاط، صرفاً از ترکیب خطی معکوس فاصله داده‌های موجود استفاده می‌کند (Ding et al., 2018: 25). دلیل انتخاب این روش، توانایی آن در تخمین فراوانی توفان‌های تندri در نقاط فاقد داده، با حداقل میزان خطا است (میرشفیعی و همکاران، ۱۴۰۳: ۱۲۵). در این مرحله، داده‌های مربوط به توفان‌های تندri به همراه مختصات جغرافیایی ایستگاه‌ها وارد نرم‌افزار ArcMap شدند. سپس با استفاده از روش IDW، نقشه‌های توزیع مکانی داده‌ها تولید و خروجی‌های حاصل برای انجام تحلیل‌های فضایی و بررسی الگوهای زمانی-مکانی آماده شدند.

روش وزن دهی معکوس فاصله (IDW)

در این روش، از داده‌های اندازه‌گیری شده در نقاط پیرامونی برای پیش‌بینی مقدار متغیر در نقاط نمونه‌برداری نشده استفاده می‌شود. اساس این روش بر این فرض استوار است که پدیده‌های مکانی که به یکدیگر نزدیک‌تر هستند، شباهت بیشتری نسبت به پدیده‌های دورتر دارند. به منظور تخمین مقدار در یک نقطه مجهول، از رویکرد شاخص وزنی عکس فاصله بهره گرفته می‌شود. در این روش، مقادیر موجود در نقاط نزدیک‌تر به نقطه مورد‌نظر، وزن بیشتری در فرآیند برآورد دریافت می‌کنند، در حالی که تأثیر نقاط دورتر کمتر در نظر گرفته می‌شود. این ویژگی بر اساس اصل همبستگی مکانی عمل می‌کند که بیانگر کاهش تدریجی شباهت مقادیر با افزایش فاصله است (شمسی‌پور، ۱۳۹۲). مقدار عامل وزنی با استفاده از رابطه زیر محاسبه می‌شود که در آن λ وزن ایستگاه^۱، D_i فاصله ایستگاه تا نقطه مجهول و α توان وزن دهی می‌باشد (متصدی زرندی و نصیری، ۱۳۹۹):

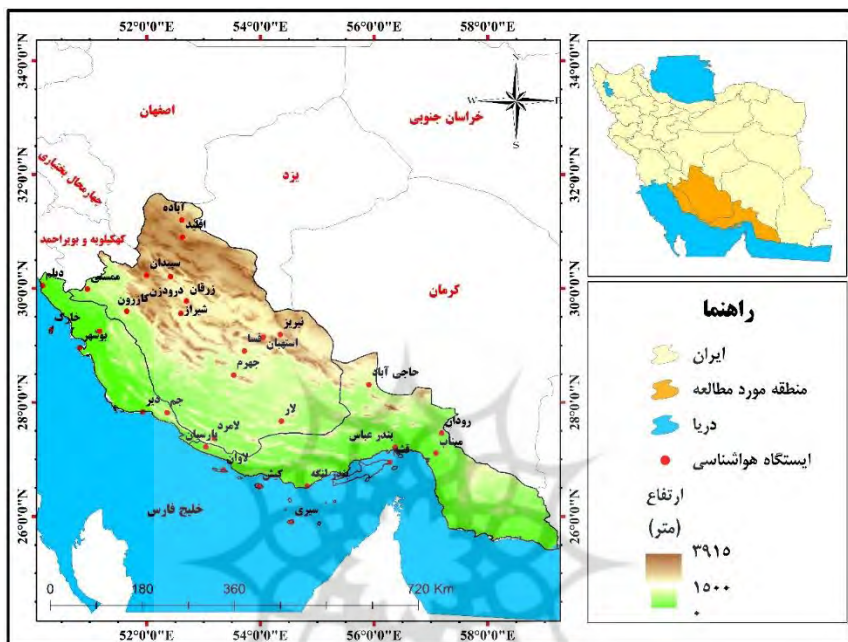
$$\lambda_i = (D_i - \alpha) / \sum_{i=1}^n D_i - \alpha \quad (1)$$

محدوده مورد مطالعه

پنهنه موردمطالعه در این پژوهش شامل استان‌های هرمزگان، فارس و بوشهر است. این منطقه جغرافیایی، بخش‌های متنوعی از جنوب ایران را در بر می‌گیرد که شامل ارتفاعات زاگرس جنوبی و سواحل گستره خلیج‌فارس می‌شود (شکل ۱). این سه استان در مجموع مساحتی معادل ۲۱۶,۳۱۸ کیلومترمربع را پوشش می‌دهند و از منظر موقعیت جغرافیایی، در محدوده‌ای با عرض‌های جغرافیایی ۲۵ درجه و ۳۹ دقیقه تا ۳۱ درجه و ۶۶ دقیقه شمالی و طول‌های جغرافیایی ۵۰ درجه و ۱۱ دقیقه تا ۵۹ درجه و ۲۱ دقیقه شرقی واقع شده‌اند. طبق آخرین سرشماری نفوس و مسکن این سه استان دارای ۷,۷۹۱,۰۸۹ نفر جمعیت ساکن می‌باشند (مرکز آمار ایران، ۱۳۹۵). ارتفاعات استان‌های فارس، بوشهر و هرمزگان دامنه‌ای قابل توجه از تنوع ارتفاعی را به نمایش می‌گذارند که این اختلاف ارتفاع به حدود ۳۹۱۵ متر می‌رسد. این ویژگی توپوگرافیک

1. Inverse Distance Weighted

نشان‌دهنده حضور ساختارهای زمین‌شناسی و جغرافیایی منحصر به‌فرد در این منطقه است. این محدوده بخشی از کمربند کوهستانی زاگرس جنوبی است که به عنوان یکی از مهم‌ترین واحدهای زمین‌ساختی ایران، نقشی اساسی در ویژگی‌های ژئومورفولوژیکی، اقلیم محلی، و الگوهای زیست‌محیطی آن ایفا می‌کند. توده‌های هوایی مؤثر بر اقلیم این منطقه عبارت‌اند از توده هوای مرطوب مدیترانه‌ای، سامانه کم‌پوش سودانی، سامانه پرپوش عربستان، جریان‌های موسمی و سامانه پرپوش سیبری. هر یک از این توده‌های هوایی با ویژگی‌های دمایی و رطوبتی خاص خود نقش مهمی در الگوهای جوی منطقه ایفا می‌کنند (علیجانی، ۱۳۸۲: ۴۵؛ لشکری، ۱۳۹۷: ۱؛ محمدی و لشکری، ۱۳۹۱: ۴۹۱).



شکل ۱. موقعیت منطقه مورد مطالعه و ایستگاه‌های مورد استفاده در پژوهش

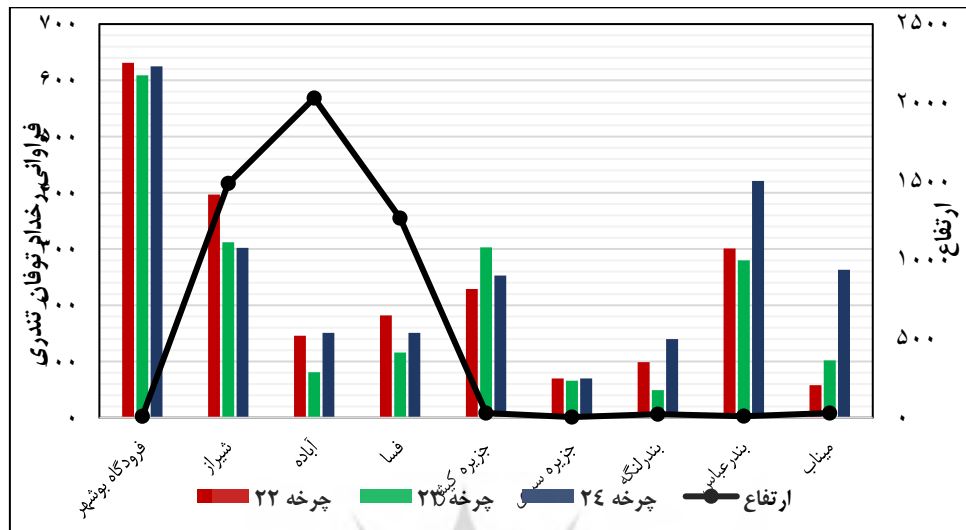
یافته‌ها

در این بخش، ابتدا فراوانی رخداد توفان‌های تندری در قالب چرخه‌های خورشیدی تحلیل شده است. این تحلیل با هدف شناسایی روندها و الگوهای احتمالی در تغییرات فراوانی این پدیده در طول چرخه‌های مختلف خورشیدی صورت می‌گیرد. در مرحله بعد، توزیع مکانی این توفان‌ها به صورت ماهانه بررسی و تحلیل شده است. این تحلیل به‌منظور شناسایی الگوهای فضایی و زمانی توفان‌های تندری و تفسیر تأثیرات مکانی و اقلیمی آن‌ها انجام می‌شود.

تحلیل آماری توفان‌های تندری

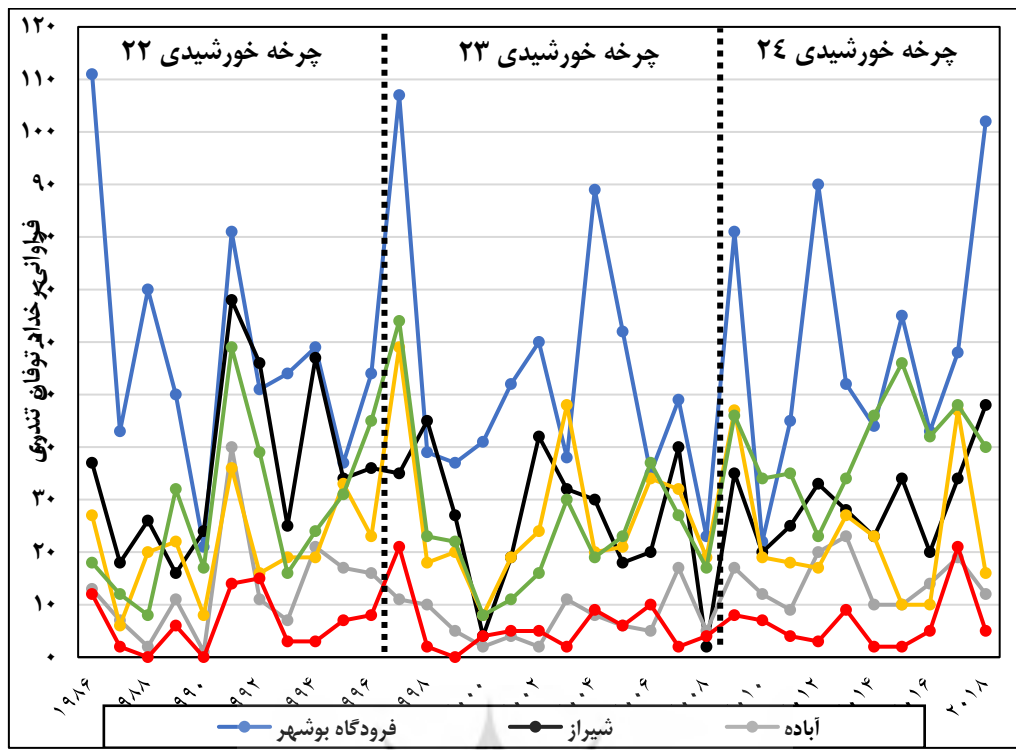
شکل ۲ توزیع فراوانی رخداد توفان‌های تندری را در ایستگاه‌های منتخب طی سه چرخه خورشیدی ۲۳، ۲۲ و ۲۴ نشان می‌دهد. این ایستگاه‌ها، که دارای داده‌های ثبت شده در بازه زمانی ۳۳ ساله هستند، به عنوان نماینده‌ای از الگوهای زمانی و مکانی توفان‌های تندری انتخاب شده‌اند. بر اساس نتایج ارائه شده، ایستگاه فرودگاه بوشهر با ثبت بیش از ۶۰۰ رخداد توفان در هر چرخه بیشترین تعداد توفان‌های تندری را در بازه مورد مطالعه به خود اختصاص داده است. در مقابل، ایستگاه‌های جزیره سیری و بندرلنگه به ترتیب، کمترین تعداد توفان‌های تندری را ثبت کرده‌اند. از منظر زمانی، تحلیل فراوانی رخداد توفان‌های تندری در چرخه‌های خورشیدی ۲۲ تا ۲۴ نشان می‌دهد که این پدیده الگوی مشخص و قابل پیش‌بینی‌ای را دنبال نمی‌کند. به عبارت دیگر، تغییرات فراوانی وقوع توفان‌ها در این بازه زمانی فاقد روندی منظم یا همگن بوده و نوسانات قابل توجهی بین چرخه‌های مذکور مشاهده می‌شود. از طرفی شواهد نشان می‌دهد که در ایستگاه‌های

کوهپایه‌ای مانند فسا، آباده و شیراز با افزایش ارتفاع تغییرات قابل توجه‌ای در فراوانی توفان تندri مشاهده نمی‌شود. این تفاوت‌های مکانی در رخداد توفان‌های تندri بیانگر آن است که رخداد توفان‌های تندri علاوه بر شرایط همدیدی بشدت از عوامل محلی و ترمودینامیکی تأثیر می‌پذیرد.



شکل ۲. فراوانی رخداد توفان تندri طی سه سیکل خورشیدی ۲۳، ۲۲ و ۲۴

شکل ۳ تغییرات فراوانی رخداد توفان‌های تندri را در بازه زمانی ۱۹۸۶ تا ۲۰۱۸ به صورت سالانه و در ارتباط با سه چرخه آخر فعالیت خورشیدی نمایش می‌دهد. به منظور کاهش پیچیدگی و جلوگیری از ازدحام در نمودار، با در نظر گرفتن گستره جغرافیایی منطقه مورد مطالعه، شش ایستگاه منتخب با پراکندگی مناسب به عنوان نمایندگان آماری برای انجام این تحلیل انتخاب شده‌اند. در بررسی سه چرخه خورشیدی، ایستگاه بوشهر بالاترین فراوانی توفان‌های تندri را در منطقه ثبت کرده است. در مقابل، کمترین میزان وقوع این پدیده در ایستگاه‌های جزیره سیری (در جنوب) و ایستگاه آباده در شمال استان فارس، گزارش شده است. در چرخه خورشیدی ۲۲، از نظر توزیع سالانه، بیشترین تعداد توفان‌های تندri با ۳۵۶ مورد در سال ۱۹۹۱ و کمترین تعداد با ۹۰ مورد در سال ۱۹۹۰ ثبت شده است. در چرخه خورشیدی ۲۳، بیشترین رخداد این پدیده با ۵۹۵ مورد در سال ۱۹۹۷ و کمترین تعداد با ۱۵۳ مورد در سال ۲۰۰۰ مشاهده شده است. همچنین، در چرخه خورشیدی ۲۴، بیشترین تعداد توفان‌های تندri با ۷۷۲ مورد در سال ۲۰۰۹ و کمترین رخداد با ۳۷۰ مورد در سال ۲۰۱۶ گزارش شده است. از نظر نصف‌النهاری، روند تعداد توفان‌های تندri از غرب به شرق منطقه مطالعاتی کاهش یافته و سپس در ایستگاه بندرعباس دوباره افزایش نشان داده است.

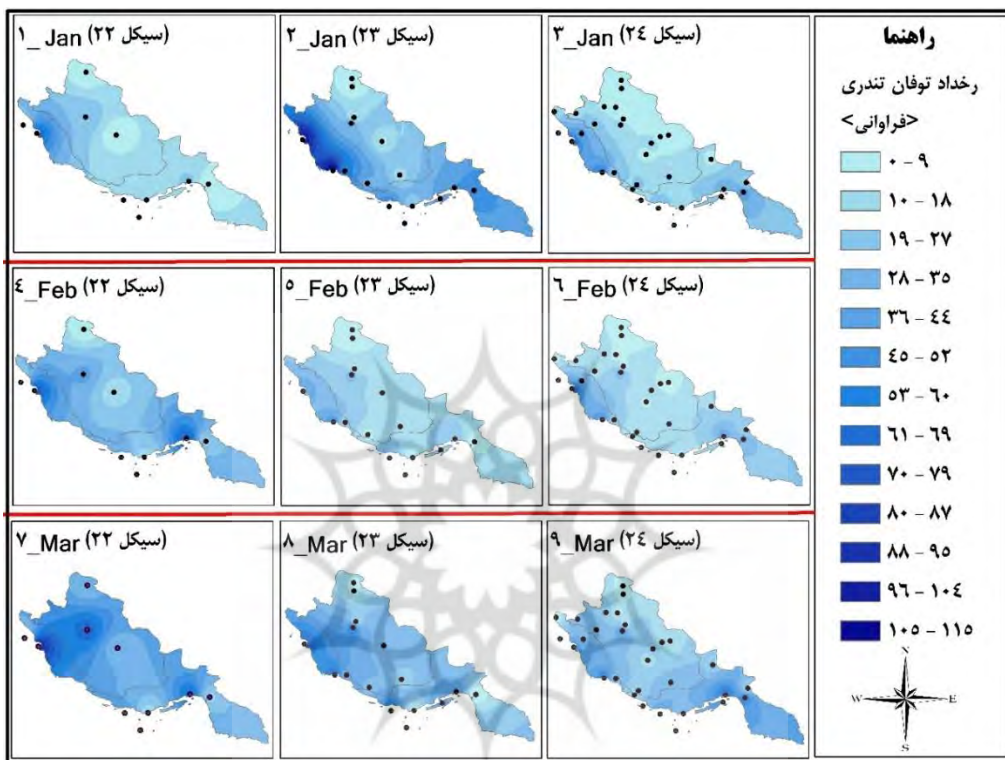


شکل ۳. روند تغییرات فراوانی توفان تندی طی بازه زمانی ۱۹۸۶ الی ۲۰۱۸ (سه چرخه خورشیدی ۲۲، ۲۳، ۲۴)

پراکنش رخداد توفان تندی طی سه چرخه خورشیدی ۲۲، ۲۳، ۲۴، ۲۰۱۸ (۱۸۹۶-۲۰۱۸)

در این بخش، توزیع زمانی رخداد توفان‌های تندی به صورت ماهانه و در چارچوب سه چرخه خورشیدی مورد بررسی، تحلیل و مقایسه قرار می‌گیرد. هدف از این تحلیل، شناسایی الگوهای فصلی و ماهانه وقوع توفان‌های تندی در هر چرخه خورشیدی و ارزیابی تغییرات احتمالی در فراوانی و توزیع زمانی این پدیده است. شکل ۴ پراکنش توفان‌های تندی را در سه چرخه اقلیمی در سه ماه فصل زمستان (ماه‌های ژانویه، فوریه و مارس) نشان می‌دهد. در دوره سه دهه‌ای ماه ژانویه هسته اصلی رخداد توفان‌های تندی همواره بر استان بوشهر مرکز بوده است. در دهه اول (۱۹۹۶-۱۹۸۶)، بیشترین تعداد توفان با بیش از ۵۰ مورد در ایستگاه بوشهر ثبت شده و به تدریج با فاصله گرفتن از این منطقه به سمت شمال و شرق، تعداد توفان‌ها به کمتر از ۱۵ مورد کاهش می‌یابد. در دهه دوم (۱۹۹۷-۲۰۰۷)، الگوی پراکنش مشابه دهه اول است، اما با ظهور یک هسته ثانویه در ایستگاه بندرعباس. این روند در دهه سوم (۲۰۰۸-۲۰۱۸) نیز حفظ شده است، به طوری که استان بوشهر همچنان بالاترین تعداد رخداد را داشته و ایستگاه بندرعباس به عنوان هسته ثانویه شناسایی می‌شود. کاهش تدریجی توفان‌ها از هسته‌های اصلی و ثانویه به سمت شمال و شرق منطقه مشهود است. با وجود مرکز رخداد توفان‌های تندی در ایستگاه بوشهر، تعداد این رخدادها در سه دهه تغییرات قابل توجهی داشته است. در دهه اول، حداقل تعداد ثبت شده ۶۹ رخداد بوده که در دهه دوم به ۱۱۴ رخداد افزایش یافته است. در دهه سوم، این تعداد مجددًا کاهش یافته و به ۷۰ رخداد رسیده است. روند حداقل رخدادها نیز مشابه این الگو است. بیشترین تعداد توفان‌های تندی در ماه ژانویه، طی چرخه خورشیدی ۲۳ (۱۹۹۷-۲۰۰۷) ثبت شده است. در ماه فوریه، برخلاف الگوی ژانویه، دو هسته پرtraکم توفان‌های تندی در استان‌های بوشهر و هرمزگان، با مرکز بر ایستگاه‌های بوشهر و بندرعباس، مشاهده می‌شود. این الگو در هر سه چرخه خورشیدی ۲۲، ۲۳ و ۲۴ تکرار شده است. تعداد رخدادها در ایستگاه بوشهر همواره بیشتر از بندرعباس بوده است. بین چرخه‌های ۲۲ و ۲۳، تعداد رخدادها در ایستگاه بوشهر از ۵۰ به ۷۶ مورد کاهش یافته است، اما در چرخه ۲۴ این تعداد

به طور قابل توجهی افزایش یافته و به ۸۰ رخداد رسیده است، که نشان دهنده رشد فراوانی توفان‌ها در سراسر پهنه جنوبی کشور است. تحلیل الگوی پراکنش توفان‌های تندri در ماه مارس طی سه چرخه اقلیمی نشان می‌دهد که الگوی کلی مشابه ماه‌های ژانویه و فوریه حفظ شده است. ایستگاه‌های بوشهر و بندرعباس همچنان به عنوان هسته‌های اصلی رخداد توفان‌های تندri شناسایی می‌شوند. با این حال، گستره این هسته‌ها در هر سه چرخه نسبت به دو ماه قبل افزایش یافته است، به ویژه در چرخه‌های ۲۲ و ۲۳ که اتصال بین دو هسته بوشهر و بندرعباس بهوضوح دیده می‌شود. تفاوت اصلی در این ماه، افزایش چشمگیر رخداد توفان‌ها در محدوده ایستگاه بندرعباس است که در چرخه ۲۴ به اوج خود رسیده است.



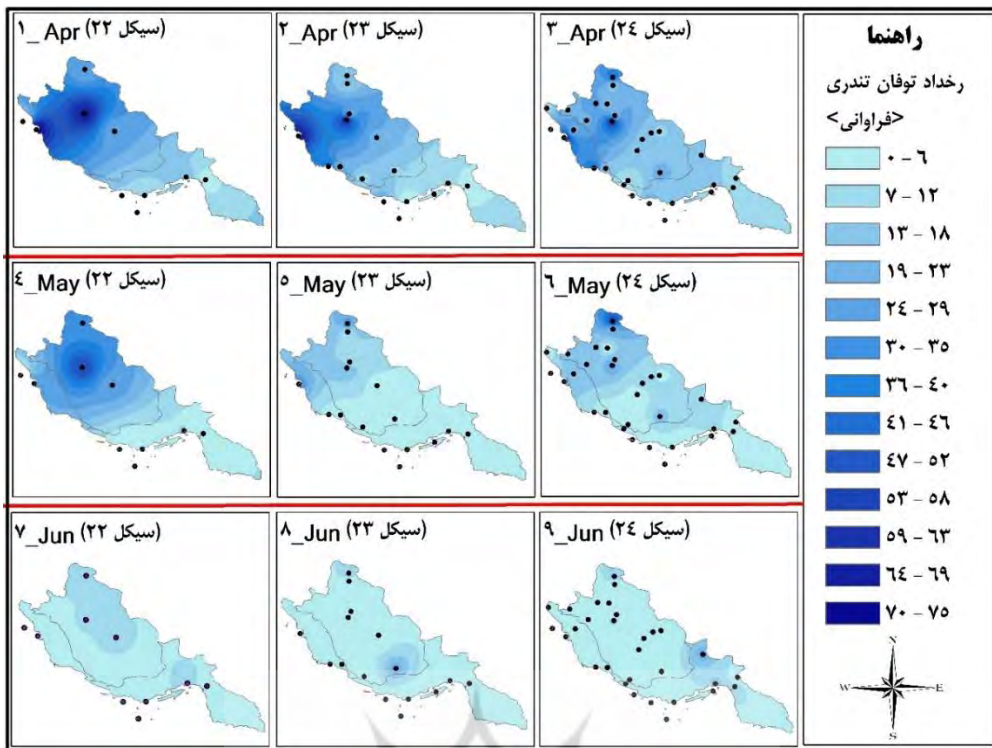
شکل ۴. پراکنش رخداد توفان تندri در ماه ژانویه، فوریه و مارس طی سه چرخه خورشیدی ۲۲، ۲۳، ۲۴ (۱۸۹۶-۲۰۱۸)

شکل ۵ پراکنش توفان‌های تندri را در سه چرخه اقلیمی در ماه آوریل، می و ژوئن نشان می‌دهد. در ماه آوریل، علی‌رغم کاهش چشمگیر میزان بارش‌ها در مناطق جنوبی کشور نسبت به سه ماهه زمستان، فراوانی وقوع توفان‌های تندri تغییر چندانی نسبت به این بازه زمانی ندارد. این موضوع بهوضوح در نقشه‌های پراکنش توفان‌های تندri در هر سه چرخه اقلیمی قابل مشاهده است. نکته اساسی و متمایز‌کننده ماه آوریل نسبت به ماههای زمستان، حذف هسته فعالیت توفان‌های تندri از محدوده ایستگاه بندرعباس و مناطق اطراف آن در تمامی چرخه‌های اقلیمی است. این در حالی است که ایستگاه بوشهر و نواحی پیرامونی آن همچنان به عنوان ناحیه‌ای فعال در رخداد توفان‌های تندri باقی‌مانده و بیشترین فراوانی رخداد این پدیده را نشان می‌دهد. در ماه می، الگوی پراکنش توفان‌های تندri همچنان بیشترین تمرکز را در پهنه استان‌های بوشهر و فارس نشان می‌دهد. با این حال، هسته اصلی فعالیت در این ماه به محدوده ایستگاه شیراز منتقل شده است. ایستگاه شیراز با ثبت بیش از ۵۰ گزارش توفان تندri، فاصله قابل توجهی از سایر ایستگاه‌ها داشته و به عنوان منطقه‌ای با بیشترین فراوانی رخداد این پدیده در سیکل ۲۲ شناخته می‌شود. در سیکل ۲۳ هسته پر رخداد توفان تندri به پهنه‌های غربی منطقه مطالعاتی منتقل شده و دو پهنه اطراف ایستگاه‌های بوشهر و آباده بالاترین رخداد را گزارش

کرده‌اند. در این ماه نیز پهنه استان هرمزگان و بخش شرقی استان فارس کمترین رخداد را تجربه کرده‌اند. در سیکل ۲۳، تغییر چشمگیری در توزیع مکانی توفان‌های تندri مشاهده می‌شود؛ به‌طوری‌که هسته پر رخداد این پدیده به پهنه‌های غربی منطقه مطالعاتی انتقال یافته است. در این دوره، ایستگاه‌های بوشهر و آباده و مناطق پیرامونی آن‌ها، بالاترین فراوانی وقوع توفان تندri را ثبت کرده‌اند. در مقابل، پهنه استان هرمزگان و بخش شرقی استان فارس در این بازه زمانی کمترین میزان فعالیت توفان‌های تندri را تجربه کرده‌اند. در ماه ژوئن، تعداد رخدادهای توفان‌های تندri به‌طور چشمگیری نسبت به ماه‌های پیشین کاهش یافته است، به‌طوری‌که در بیشترین میزان ثبت شده، تعداد رخدادها به بیش از ۲۰ مورد نیز نرسیده است. این کاهش چشمگیر را می‌توان در سه سیکل زمانی مورد تحلیل قرار داد. در سیکل اول، بیشترین رخدادهای توفان تندri از ایستگاه‌های بندرعباس و آباده گزارش شده است. در سیکل دوم، بیشترین فراوانی رخدادها در ایستگاه لار مشاهده شده، در حالی‌که در سیکل سوم، ایستگاه‌های بندرعباس و حاجی‌آباد بیشترین رخداد را گزارش کرده‌اند. علت کاهش قابل توجه تعداد رخدادهای توفان‌های تندri در ماه ژوئن را می‌توان به کاهش سامانه‌های بارشی ورودی به منطقه نسبت داد. این کاهش عمدتاً به دلیل جایه‌جایی شمال سوی واچرخند عربستان رخ می‌دهد که در این بازه زمانی الگوی تابستانه را بر منطقه حاکم می‌سازد. در این شرایط، سامانه‌های بارشی که عموماً منشاً تکوین و تقویت توفان‌های تندri هستند، فرصت ورود و فعالیت در منطقه را نمی‌یابند. علاوه بر این، جایه‌جایی جغرافیایی رخدادهای توفان‌های تندri به سمت غرب منطقه مطالعاتی نیز معنادار می‌باشد. این جایه‌جایی به دلیل کاهش شدید فعالیت سامانه‌های بارشی در غرب منطقه می‌باشد. در بخش شرقی منطقه مطالعاتی، ورود سامانه‌های مونسونی^۱ که عمدتاً از سمت جنوب شرقی و از اقیانوس هند منشاً می‌گیرند، باعث ایجاد شرایطی متفاوت شده و توفان‌های تندri در این بخش از کشور به میزان چشمگیری افزایش یافته است. در مجموع، تغییرات الگوی منطقه تحت تأثیر حرکت واچرخند^۲ عربستان و شروع فعالیت سامانه‌های مونسونی در جنوب شرق کشور، عامل اصلی کاهش چشمگیر رخدادهای توفان‌های تندri در غرب و تغییر مکان جغرافیایی آن‌ها به سمت شرق در ماه ژوئن می‌باشد.

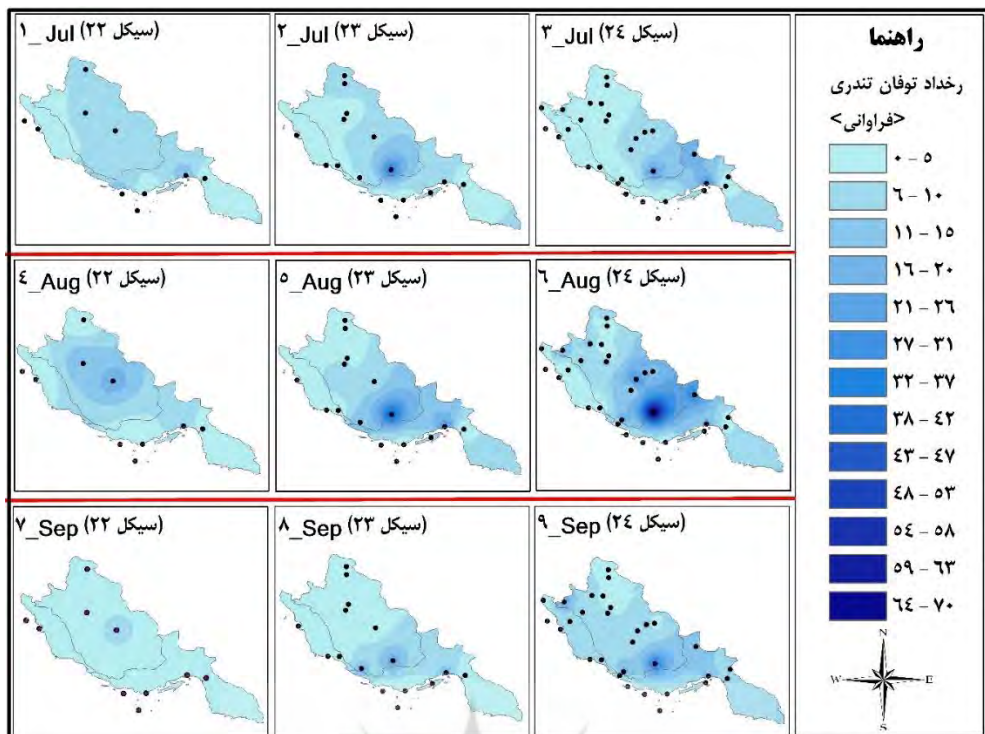
پژوهشگاه علوم انسانی و مطالعات فرهنگی
پرستال جامع علوم انسانی

1. monsoon
2. Anticyclone



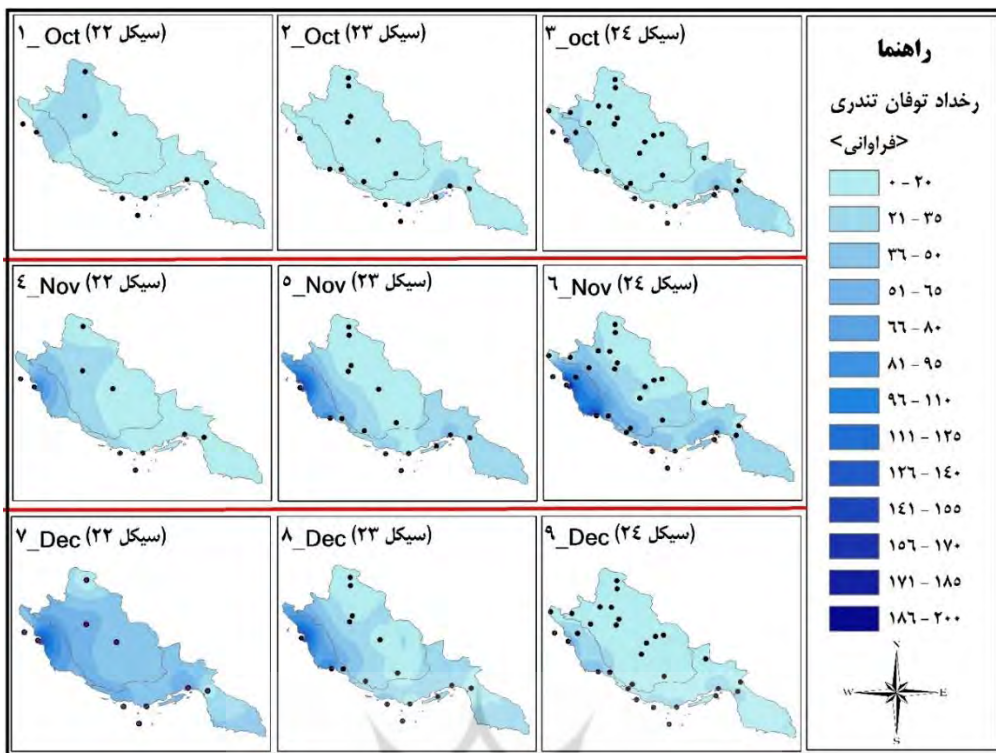
شکل ۵. پراکنش رخداد توفان تندri در ماه آپریل، می و ژوئن طی سه چرخه خورشیدی (۱۸۹۶-۲۰۱۸) ۲۴، ۲۳، ۲۲

شکل ۶ پراکنش توفان‌های تندri را در سه چرخه اقلیمی در ماه جولای، آگوست و سپتامبر نشان می‌دهد. در ماه جولای، به دنبال حاکمیت الگوی تابستانه در منطقه، رخدادهای توفان تندri عمده‌اً از بخش شرقی منطقه مطالعاتی گزارش شده است. در سیکل ۲۲ خورشیدی، بیشترین رخدادها در ایستگاه‌های بندرعباس و جزیره کیش ثبت شده‌اند. در سیکل ۲۳، این هسته در محدوده لار متوجه بوده و در سیکل ۲۴، بیشترین رخدادها از ایستگاه‌های لار، بندرعباس و حاجی‌آباد گزارش شده است. در حالی که در سایر بخش‌های منطقه، تعداد رخدادهای توفان تندri کاهش قابل توجهی داشته، در بخش‌های شرقی منطقه مطالعاتی، افزایش چشمگیری نسبت به ماه قبل مشاهده می‌شود. این افزایش به دلیل تقویت و ورود سامانه‌های مونسونی به این بخش از منطقه در ماه جولای می‌باشد. در ماه آگوست، تعداد رخدادهای توفان‌های تندri در سیکل اول نسبت به سایر سیکل‌ها کمتر بوده و دو هسته پرتکرار، به مرکزیت ایستگاه فسا مشاهده می‌شود. ولی تعداد رخدادها به ۲۰ مورد نیز نمی‌رسد. این هسته در استان فارس و عمده‌اً در ایستگاه‌های فسا و شیراز متوجه بوده است. در سیکل‌های ۲۳ و ۲۴، تعداد رخدادها به طور چشمگیری افزایش یافته است؛ به طوری که در سیکل ۲۳، ایستگاه لار حدود ۴۰ رخداد و در سیکل ۲۴، بیش از ۶۰ رخداد را ثبت کرده است. در هر دو سیکل، ایستگاه لار بالاترین تعداد رخدادهای توفان تندri را گزارش کرده است. در ماه سپتامبر، الگوی پراکنش توفان‌های تندri شباهت زیادی به الگوی ماه اوت دارد. در سیکل اول، بیشترین رخدادها در ایستگاه فسا ثبت شده، اما در سیکل‌های بعدی هسته فعالیت به ایستگاه‌های بندرعباس و لار منتقل شده است. تعداد گزارش‌های توفان تندri در این ماه نسبت به اوت کاهش محسوسی نشان می‌دهد، به‌ویژه در سیکل ۲۲ که بیشترین تعداد رخداد به کمتر از ۱۰ مورد رسیده است. در سیکل‌های ۲۳ و ۲۴ نیز بالاترین تعداد گزارش‌ها به ترتیب ۳۰ و ۳۳ مورد ثبت شده است.



شکل ۶. پرآکنش رخداد توفان تندی در ماه جولای، آگوست و سپتامبر طی سه چرخه خورشیدی (۱۸۹۶-۲۰۱۸) (۲۲، ۲۳، ۲۴)

شکل ۷ پرآکنش توفان‌های تندی را در سه چرخه اقلیمی در سه ماه اکتبر، نوامبر و دسامبر نشان می‌دهد. در ماه اکتبر، پهنه‌های رخداد توفان‌های تندی در سه سیکل الگوهای متفاوتی نشان می‌دهند. در سیکل ۲۲، بیشترین رخدادها به محدوده ایستگاه‌های بوشهر و شیراز منتقل شده و الگوی بارشی به شرایط دوره‌های مرطوب بازگشته است. برخلاف ماه‌های تابستان که هسته اصلی رخدادها در شرق منطقه مطالعاتی بود، در این ماه به غرب جابجا شده و شروع زودهنگام بارش‌ها را نشان می‌دهد. در این دوره، بیش از ۳۰ توفان تندی در ایستگاه بوشهر ثبت شده است. در سیکل ۲۳، همچنان تمکز رخدادها بر بخش شرقی منطقه مطالعاتی قرار دارد که بیانگر تداوم فعالیت سامانه‌های موносونی است. در سیکل ۲۴، ترکیبی از ویژگی‌های سیکل‌های قبلی مشاهده می‌شود، به‌طوری‌که دو هسته پر رخداد در ایستگاه‌های بندرعباس و بوشهر شکل‌گرفته‌اند. در ماه نوامبر، الگوی زمستانه در هر سه سیکل غالب شده است. ورود سامانه‌های زمستانه از سمت جنوب، با مشاهده حاره‌ای و ترمودینامیک قوی، باعث وقوع توفان‌های تندی در نواحی ساحلی شده است. بیشترین رخدادها از ایستگاه بوشهر گزارش شده است، به‌طوری‌که فراوانی آن در سیکل ۲۲ بیش از ۸۰ مورد، در سیکل ۲۳ بیش از ۱۲۰ مورد و در سیکل ۲۴ به بیش از ۱۶۰ مورد رسیده است. این پدیده بیانگر ورود سامانه‌ها به منطقه از سمت جنوب و با ویژگی ترمودینامیک خاص می‌باشد که در مدخل ورودی به ساحل توفان‌های تندی را ایجاد کرده است. در ماه دسامبر، مشابه نوامبر، هسته اصلی رخداد توفان‌های تندی در محدوده ایستگاه بوشهر متتمرکز بوده است. بیشترین تعداد رخدادها در سیکل‌های ۲۲ و ۲۳ ثبت شده، به‌طوری‌که مجموع گزارش‌ها از ۱۲۰ مورد فراتر رفته است. ولی در سیکل ۲۴، تعداد رخدادها کاهش چشمگیری نشان می‌دهد.



شکل ۷. پراکنش رخداد توفان تندری در ماه اکتبر، نوامبر و دسامبر طی سه چرخه خورشیدی (۱۸۹۶-۲۰۱۸) (۲۴، ۲۳، ۲۲)

بحث

یافته‌های اصلی این تحقیق را می‌توان به صورت زیر خلاصه کرد. به لحاظ زمانی از چرخه خورشیدی ۲۲ به چرخه ۲۴ فراوانی رخداد توفان‌ها از نظم مشخصی پیروی نمی‌کنند. بلکه چرخه ۲۳ بالاترین رخداد توفان‌های تندری را نسبت به دو چرخه قبل و بعد خود نشان می‌دهد. در بررسی توزیع زمانی، بیشترین تعداد رخدادها در سال‌هایی از چرخه خورشیدی ۲۴ گزارش شده که بیانگر تأثیر قابل توجه فعالیت خورشیدی بر وقوع این پدیده است. برای مثال، در این چرخه بیشترین رخدادها در سال ۲۰۰۹ (ابتدای چرخه) و کمترین آن‌ها در سال ۲۰۱۶ (نزدیک سال‌های انتهایی چرخه) ثبت شده است. در مجموع در دوره آماری ۳۳ ساله بالاترین رخداد مربوط به سال ۱۹۹۷ و کمترین رخداد توفان تندری در سال ۱۹۹۰ گزارش شده است. به لحاظ توزیع ماهانه بیشترین تعداد رخداد توفان تندری مربوط به ماه دسامبر و ژانویه و کمترین رخداد توفان تندری از ماه سپتامبر گزارش شده است.

از لحاظ پراکنش مکانی توفان‌های تندری در فصول سرد سال که سامانه‌های سودانی پدیده غالب این دوره از سال می‌باشد هسته پر رخداد توفان‌های تندری بر روی ایستگاه بوشهر قرار دارد. این هسته پر رخداد به سمت شرق و شمال روندی کاهشی دارد. در ماه‌های فوریه و آوریل هسته پر رخداد دیگری بر روی ایستگاه‌های بندرعباس و شیراز به چشم می‌خورد. در ماه‌های اولیه فصل بهار الگوی پراکنش مکانی بمانند ماه‌های دوره سرد سال می‌باشد. ولی در ماه انتهایی فصل بهار و فصل تابستان الگوی مکانی پراکنش رخداد توفان‌های تندری کاملاً تغییر پیداکرده و هسته‌های پر رخداد توفان تندری به شرق منطقه مطالعاتی جابجا شده و بالاترین رخدادها از ایستگاه‌هایی مانند لار و بندرعباس گزارش می‌شود. این پدیده بیانگر اثر غیرقابل انکار شرایط توپوگرافی بر تشید فعالیت سامانه‌های ورودی بر روی منطقه می‌باشد. بر اساس مطالعات لشکری (۱۳۸۱) سامانه‌های سودانی در حالت عملکرد مستقیم از سه مسیر اصلی وارد ایران می‌شوند. دو مسیر از سه مسیر ورودی در این منطقه مطالعاتی قرار دارند. مسیر بوشهر و تنگه هرمز و بندرعباس دو مسیر اصلی ورود سامانه سودانی در

دوه سرد سال می‌باشدند. در مقابل، ایستگاه‌های جزیره سیری و بندرنگه کمترین رخداد توان‌های تندری را گزارش کرده‌اند. همان‌طور که بیان شد در فصل تابستان و اوایل بهار، توفان‌های تندری در این ایستگاه‌ها کاهش چشمگیری داشته و به کمترین مقدار خود می‌رسند. در مقابل فراوانی رخدادها به بخش شرقی منطقه مطالعاتی منتقل می‌شود. از دوره اعتدالین به بعد واچرخند دینامیکی عربستان جابجایی شمال سوی خود را شروع کرده و شرایط تابستانه بر روی منطقه حاکم می‌شود. این در حالی است که با گسترش شمال سوی سامانه‌های موسومی از اوایل خداد زمینه ورود سامانه‌های موسومی به بخش جنوب شرقی کشور ایران و بخش‌های جنوب شرقی استان‌های فارس و هرمزگان را هم می‌شود.

نتایج به دست آمده در این پژوهش با یافته‌های حاصل از مطالعات متعدد دیگر نیز تائید می‌شود. به عنوان نمونه، معصوم پور و همکاران (۱۳۹۵) نشان دادند روند مکانی توفان‌های تندری در جنوب کشور از غرب به شرق کاهش می‌یابد و پتانسیل رخداد آن در استان بوشهر بیش از هرمزگان است. از نظر زمانی، همچنین بیشترین رخداد این پدیده در پاییز با ۴۵ و زمستان با ۴۳ درصد ثبت شده است. فلک و همکاران (۱۳۹۹) طی مطالعه خود در تحلیل فصلی توفان تندری در جنوب کشور، نشان دادند فصل بهار بیشترین توفان با عدد ۱۳۷ و تابستان با ۱۰ فراوانی کمترین توفان را به خود اختصاص داده است. دانایانی و همکاران (۱۴۰۲) توفان‌های تندری در ایران را مورد تجزیه و تحلیل قرار دادند. بخشی از نتایج این پژوهش نشان داد که در زمستان مناطق جنوب غرب، جنوب و جنوب شرق ایران کانون اصلی رخداد توفان تندری بوده است. مطالعات فوق‌الذکر نشان‌دهنده نقش بر جسته الگوهای اقلیمی منطقه‌ای و فصلی در توزیع توفان‌های تندری در جنوب ایران است. همخوانی این نتایج با یافته‌های پژوهش حاضر، اعتبار بیشتری به روندها و تحلیل‌های مکانی‌زمانی ارائه شده در این مطالعه می‌بخشد.

نتیجه‌گیری

توفان‌های تندری به دلیل ویژگی‌های ترمودینامیکی و ساختاری منحصر به فرد خود، اثرات مخرب گسترده‌ای بر محیط‌زیست، زیرساخت‌های عمرانی، سامانه‌های حمل و نقل، و فعالیت‌های اجتماعی بر جای می‌گذارند. این پدیده علاوه بر ایجاد تنش‌های روانی در ساکنین مناطق تحت تأثیر، چالش‌های جدی در حوزه حمل و نقل هوایی و دریایی به وجود می‌آورد. بی‌توجهی به اثرات این پدیده می‌تواند منجر به وقوع حوادث مرگبار برای مسافران، خلبانان، و خدمه ناوگان‌های هوایی و دریایی شود. جنوب ایران به دلیل شرایط توپوگرافی خاص، تأثیرپذیری از سامانه‌های اقلیمی بزرگ‌مقیاس، و دسترسی به منابع رطوبتی دریاهای گرم جنوبی، محیطی مستعد برای شکل‌گیری توفان‌های تندری است. این منطقه به عنوان یکی از مهم‌ترین قطب‌های تجاری، بندرگاهی، صنعتی، و کشاورزی کشور، به شدت از وقوع این پدیده‌ها آسیب می‌بیند. یافته‌های این پژوهش نشان می‌دهد که در منطقه جنوب ایران، ماه نوامبر شاهد بیشترین گزارش وقوع توفان‌های تندری است. در این ماه، ایستگاه هواشناسی فرودگاه بوشهر بیشترین تعداد گزارش‌ها را ثبت کرده و به عنوان یکی از نقاط اصلی ورود سامانه‌های توفانی از جنوب غرب به سواحل کشور شناخته می‌شود. همچنین در ماه مارس، افزایش رخداد توفان‌های تندری در محدوده بندرعباس مشاهده شده است. نتایج نشان می‌دهد که بیشترین فعالیت‌های توفان‌های تندری در جنوب ایران در فصل پاییز و زمستان رخ می‌دهد، درحالی که در فصل بهار و تابستان نیز فعالیت‌های قابل توجهی به ثبت رسیده است. با این وجود، توفان‌های تندری می‌توانند در تمام طول سال اتفاق بیفتدند. بررسی فراوانی ماهانه و فصلی این پدیده نشان می‌دهد که ماه‌های مه، آوریل، ژوئن و اکتبر بیشترین رخدادها را به خود اختصاص داده‌اند. همچنین، اوج وقوع توفان‌ها اغلب در ساعات بعدازظهر ثبت شده است. توزیع فصلی نشان می‌دهد که در فصل بهار (مارس، آوریل، می) حدود ۳۰ درصد از مجموع گزارش‌های توفان‌های تندری ثبت شده که این امر به دلیل افزایش ناپایداری جوی همراه با دما و رطوبت بالا است. در مقابل، فصل تابستان (ژوئن، جولای، آگوست) با تنها ۹ درصد از رخدادها کمترین فعالیت توفانی را نشان می‌دهد.

که به شرایط جوی پایدارتر این فصل نسبت داده می‌شود. در فصل پاییز (سپتامبر، اکتبر، نوامبر) و زمستان (دسامبر، ژانویه، فوریه) به ترتیب ۳۵ و ۲۶ درصد از رخدادها گزارش شده است.

با توجه به افزایش احتمال رخداد توفان‌های تندri در این بازه‌های زمانی، آگاهی خلبانان از ویژگی‌ها، نشانه‌ها، محدوده‌های مکانی، و زمان‌بندی این پدیده اهمیت زیادی دارد. این آگاهی شامل شناخت سرعت باد، ارتفاع سامانه‌ها، و توانایی توفان‌ها در تشدید سرعت باد است که می‌تواند در برنامه‌ریزی پروازها و جلوگیری از خطرات احتمالی مؤثر باشد.

حامی مالی

این اثر حامی مالی نداشته است.

سهم نویسنده‌گان در پژوهش

نویسنده‌گان در تمام مراحل و بخش‌های انجام پژوهش سهم برابر داشتند.

تضاد و منافع

نویسنده‌گان اعلام می‌دارند که هیچ تضاد منافعی در رابطه با نویسنده‌گی و یا انتشار این مقاله ندارند.

تقدیر و تشکر

نویسنده‌گان از همه کسانی که در انجام این پژوهش به ما یاری رساندند، به ویژه کسانی که کار ارزیابی کیفیت مقالات را انجام دادند، تشکر و قدردانی می‌نمایند.

منابع

- برنا، رضا. (۱۳۹۷). بررسی آماری - همدیدی توفان‌های تندri استان خوزستان. آمایش فضای و زیست‌محیطی، ۳(۲۲)، ۱-۲۵.
- خسروی، محمود و رستمی جلیلیان، شیما. (۱۳۹۳). بررسی ارتباط بارش و دمای ایران با چرخه لکه‌های خورشیدی با استفاده از پالایش موجک. پژوهش‌های اقلیم‌شناسی، ۱۹(۱۳۹۳)، ۳۹-۵۲.
- دانانیانی، پوپک؛ سوره، احسان و محمدی، بختیار. (۱۴۰۲). بررسی توفان‌های تندri در ایران. تحلیل فضایی مخاطرات محیطی، ۱۰(۲)، ۱۱۴-۹۲.
- عزیزی، قاسم؛ گرامی، محمد صالح و شریفی، لیلا. (۱۳۹۶). تحلیل فضایی توفان‌های تندri در گستره کشور ایران. نشریه تحقیقات کاربردی علوم جغرافیایی، ۱۷(۴۷)، ۲۴۳-۲۵۹.
- عیزیزی، قاسم. (۱۳۸۳). تغییر اقلیمی، چاپ اول، انتشارات قومس. [Doi: 10.1001.1.22287736.1396.17.47.11.3](https://doi.org/10.1001.1.22287736.1396.17.47.11.3)
- عساکرها، حسین؛ رزمی، رباب. (۱۳۹۰). اقلیم‌شناسی بارش شمال غرب ایران. نشریه جغرافیا و توسعه، ۲۵(۹)، ۱۳۷-۱۵۸.
- علیجانی، بهلول. (۱۳۸۲). آب‌وهوا ایران. چاپ یازدهم. انتشارات دانشگاه پیام نور.
- فرجی، عبدالله؛ دوستکامیان، مهدی و صفری، زهرا. (۱۳۹۴). واکاوی همدیدی الگوهای زمانی و مکانی بارش‌های تندri (مطالعه موردی: استان زنجان). جغرافیا و مطالعات محیطی، ۱۴(۴)، ۶۶-۴۱.
- فلک، عسل؛ برنا، رضا و اسدیان، فریده. (۱۳۹۹). تحلیل زمانی و مکانی توفان‌های تندri جنوب غربی ایران. فصلنامه جغرافیایی سرزمین، ۳(۹۷)، ۹۰-۱۰۳.
- فدبایی‌باش، علیرضا. (۱۴۰۳). تحلیل همدیدی و ترمودینامیکی توفان‌های تندri در جنوب و جنوب غرب ایران در ۳ دهه اخیر

- ۱۹۸۶)، پایان نامه کارشناسی ارشد، استاد راهنمای حسن لشکری، رشته آب و هواشناسی سینوپتیک، دانشگاه شهید بهشتی.
- گرامی، محمدصالح؛ کریمی، مصطفی؛ عزیزی، قاسم و رفعتی، سمیه. (۱۴۰۱). تحلیل همدیدی بارش‌های همراه با طوفان تندri فراگیر بهاره در شمال غرب ایران. *پژوهش‌های جغرافیای طبیعی*، ۵۶(۱)، ۹۵-۱۱۰. doi: 10.22059/jphgr.2022.334160.1007659.
- لشکری، حسن. (۱۳۸۱). مسیریابی سامانه‌های کم‌فشار سودانی ورودی به ایران. *آمایش فضای زیست‌محیطی*، ۶(۲)، ۱۳۳-۱۵۶.
- لشکری، حسن؛ یارمرادی، زهر و موسوی، حسن. (۱۳۹۵). تحلیل آماری و سینوپتیکی توفان‌های تندri استان کهگیلویه و بویر احمد. *فصلنامه جغرافیا و مطالعات محیطی*، ۱۸(۵)، ۱۵۱-۱۳۵.
- لشکری، حسن و آقاسی، نوشین. (۱۳۹۲). تحلیل سینوپتیکی توفان‌های تندri تبریز در فاصله زمانی (۱۹۹۶-۲۰۰۵). *جغرافیا و برنامه‌ریزی*، ۴۵(۱۷)، ۲۰۳-۲۳۴.
- لشکری، حسن و حجتی، زهرا. (۱۳۹۱). تحلیل سینوپتیکی- دینامیکی توفان‌های تندri در جنوب غرب کشور. *فصلنامه علمی پژوهشی اطلاعات جغرافیایی «سپهر»*، ۲۱(۸۲)، ۱۴-۲۱.
- لشکری، حسن. (۱۳۸۲). مکانیسم تکوین، تقویت و توسعه مرکز کم‌فشار سودان و نقش آن بر روی بارش‌های جنوب و جنوب غرب ایران. *پژوهش‌های جغرافیایی*، ۳۵(۴۶)، ۱-۱۸.
- معصوم پور سماکوش، جعفر؛ میری، مرتضی و رحیمی، مجتبی. (۱۳۹۵). واکاوی آماری - همدیدی توفان‌های تندri سواحل جنوبی ایران. *فیزیک زمین و فضا*، ۴۲(۳)، ۶۹۷-۷۰۸.
- معصوم پور سماکوش، جعفر؛ طاهری، فاطمه؛ کوشکی، سمیرا و تازارک، ماتیوز. (۱۴۰۱). تأثیر سامانه‌های سینوپتیکی بزرگ مقیاس بر وقوع فراگیر توفان تندri غرب و شمال غرب ایران. *پژوهش‌های اقلیم‌شناسی*، ۴۰(۱)، ۱۴۷-۱۶۲.
- معصوم پور سماکوش، جعفر و فجاد، احمد. (۱۳۹۴). واکاوی آماری - ترمودینامیکی طوفان‌های تندri ایران. *جغرافیا و توسعه تاریخی ای*، ۱۳(۲)، ۲۲۷-۲۴۸.
- محمدی، حسین؛ خزایی، مهدی؛ ماهوتچی، محمدحسن و عباسی، اسماعیل. (۱۳۹۵). تحلیل همدیدی توفان‌های تندri مخرب اهواز. *مدیریت مخاطرات محیطی*، ۳(۲)، ۱۵۵-۱۷۰.
- محمدی، زینب و لشکری، حسن. (۱۳۹۷). نقش جابه‌جایی مکانی پُرفشار عربستان و رود باد جنب‌حاره‌ای در الگوهای همدیدی و ترمودینامیکی ترسالی‌های شدید جنوب و جنوب غرب ایران. *پژوهش‌های جغرافیای طبیعی*، ۵۰(۳)، ۴۹۱-۵۰۹.
- مجده، فیروز؛ معصوم پور، جعفر؛ کوشکی، سمیرا و میری، مرتضی. (۱۳۹۸). تحلیل زمانی - مکانی توفان‌های تندri در ایران. *فصلنامه جغرافیایی فضا*، ۹(۳۲)، ۲۱۳-۲۳۲.
- مرکز آمار ایران (۱۳۹۵). *داده‌ها و اطلاعات آماری*، برگرفته از: www.amar.org.ir
- میرشفیعی، علی‌اکبر؛ بازگیر، سعید و عزیزی، قاسم. (۱۴۰۳). ارزیابی آماره‌های اندازه‌گیری دقت مدل و استفاده صحیح از آن‌ها (مطالعه موردی: درون‌یابی بارش در استان فارس). *تحلیل فضایی مخاطرات محیطی*، ۱۱(۲)، ۱۱۷-۱۳۶.

References

- Adelekan, I. O. (1998). Spatio-temporal variations in thunderstorm rainfall over Nigeria. *International Journal of Climatology: A Journal of the Royal Meteorological Society*, 18(11), 1273-1284. [https://doi.org/10.1002/\(SICI\)1097-0088\(199809\)18:11<1273::AID-JOC298>3.0.CO;2-4](https://doi.org/10.1002/(SICI)1097-0088(199809)18:11<1273::AID-JOC298>3.0.CO;2-4)
- Alijani, B. (2003). *Climate of Iran*. (11th ed.). Payame Noor University Press. [In Persian]
- Ansari, M. R. K., Raza, S. M., & Quamar, J. (2007). Role of Solar Phenomena in Large-Scale Terrestrial Meteorology. In *2007 3rd International Conference on Recent Advances in Space Technologies* (pp. 780-787). IEEE. doi: 10.1109/RAST.2007.4284099.
- Asakereh, H., & Razmi, R. (2011). Climate analysis of precipitation in northwest Iran. *Geography and Development*, 9(25), 137-158. <https://doi.org/10.22111/gdij.2011.514> [In Persian]
- Azizi, Q. (2004). *Climate change*. (1st ed.). Qoomes Publications. [In Persian]
- Azizi, Q., Garami, M. S., & Sharifi, L. (2017). Spatial analysis of thunderstorm events across

- Iran. *Journal of Applied Research in Geographic Sciences*, 17(47), 243-259. doi: 20.1001.1.22287736.1396.17.47.11.3 [In Persian]
- Barry, R. G., & Hall-McKim, E. A. (2014). *Essentials of the Earth's climate system*. Cambridge University Press.
- Borna, R. (2018). Statistical-synoptic analysis of thunderstorms in Khuzestan Province. *Spatial Planning and Geomatics*, 22(3), 1-25. [In Persian]
- Dai, A. (2001). Global precipitation and thunderstorm frequencies. Part I: Seasonal and interannual variations. *Journal of climate*, 14(6), 1092-1111. [https://doi.org/10.1175/1520-0442\(2001\)014<1092:GPATFP>2.0.CO;2](https://doi.org/10.1175/1520-0442(2001)014<1092:GPATFP>2.0.CO;2)
- Danayani, P., Sooreh, E., & Mohammadi, B. (2024). A study of thunderstorms in Iran. *Spatial Analysis of Environmental Hazards*, 10(2), 92-114. <https://doi.org/10.61186/jsaeh.10.2.97> [In Persian]
- Ding, Q., Wang, Y., & Zhuang, D. (2018). Comparison of the common spatial interpolation methods used to analyze potentially toxic elements surrounding mining regions. *Journal of environmental management*, 212, 23-31. <https://doi.org/10.1016/j.jenvman.2018.01.074>
- Fadaei-Bash, A. (2024). Synoptic and thermodynamic analysis of thunderstorm systems in southern and southwestern Iran over the past three decades (1986–2018) (*Master's thesis*, Supervisor: H. Lashkari). Department of Synoptic Climatology, Shahid Beheshti University [In Persian]
- Falak, A., Borna, R., & Asadian, F. (2020). Spatiotemporal analysis of thunderstorms in southwestern Iran. *Geographical Journal of Sazeman*, 3(97), 90–103. [In Persian]
- Faraji, A., Doostkamian, M., & Safari, Z. (2015). Synoptic analysis of the temporal and spatial patterns of thunderstorm rainfall (Case study: Zanjan Province). *Geography and Environmental Studies*, 4(14), 41-66. [In Persian]
- Galanaki, E., Lagouvardos, K., Kotroni, V., Flaounas, E., & Argiriou, A. (2018). Thunderstorm climatology in the Mediterranean using cloud-to-ground lightning observations. *Atmospheric Research*, 207, 136-144. <https://doi.org/10.1016/j.atmosres.2018.03.004>
- gerami, M. S., Karimi, M., Azizi, G., & rafati, S. (2022). synoptic analysis of precipitation and Widespread spring thunderstorm in North - West Iran. *Physical Geography Research*, 54(1), 95-110. doi: 10.22059/jphgr.2022.334160.1007659 [In Persian]
- Iran Statistics Center. (2016). *Statistical data and information*. Retrieved from www.amar.org.ir [In Persian]
- Khosravi, M. and Rostami Jalilian, S. (2014). The relationship between precipitation and temperature of IRAN with the sunspot cycle using wavelet filtering. *Journal of Climate Research*, 1393(19), 39-52. [In Persian]
- Lashkari, H. (2002). Routing of Sudanese low-pressure systems entering Iran. *Spatial Planning and Geomatics*, 6(2), 133-156. [In Persian]
- Lashkari, H. (2003). The mechanism of formation, intensification, and development of the Sudan low-pressure center and its role in the precipitation of southern and southwestern Iran. *Geographical Researches*, 35(46), 1-18. [In Persian]
- Lashkari, H., & Aghasi, N. (2013). Synoptic analysis of thunderstorm events in Tabriz during the period (1996-2005). *Geography and Planning*, 17(45), 203-234. [In Persian]
- Lashkari, H., & Hojjati, Z. (2012). Synoptic-dynamic analysis of thunderstorm storms in the southwest of the country. *Sepehr Geographical Information Quarterly*, 21(82), 14-21 [In Persian]
- Lashkari, H., Yarmoradi, Z., & Mousavi, H. (2016). Statistical and synoptic analysis of thunderstorm events in Kohgiluyeh and Boyer-Ahmad Province. *Quarterly Journal of Geography and Environmental Studies*, 5(18), 135–151. [In Persian]
- Loginov, V. F., Volchek, A. A., & Shpoka, I. N. (2010). Estimation of the role of various factors in the thunderstorm formation on the territory of Belarus. *Russian meteorology and Hydrology*, 35, 175-181. <https://doi.org/10.3103/S1068373910030039>
- masoompour samakosh, J. (2016). Statistical-synoptic analysis of thunderstorm in the Southern Coast of Iran. *Journal of the Earth and Space Physics*, 42(3), 697-708. doi: 10.22059/jesphys.2016.58912 [In Persian]
- Masoompour Samakosh, J., & Fajad, A. (2016). Thermodynamic-statistical Analysis of

- Thunderstorms in Iran. *Journal of Geography and Regional Development*, 13(2), 227-248. doi: [10.22067/geography.v13i2.49915](https://doi.org/10.22067/geography.v13i2.49915) [In Persian]
- Masoompour Samakosh, J., Taheri, F., Koushki, S., & Tazark, M. (2022). The impact of large-scale synoptic systems on the widespread occurrence of thunderstorms in western and northwestern Iran. *Climatology Research*, 2022(51), 147-162. [In Persian]
- Mirshafiee, A. A., Bazgir, S., & Azizi, Q. (2024). Evaluation of accuracy measurement statistics and their proper use (Case study: Precipitation interpolation in Fars province). *Spatial Analysis of Environmental Hazards*, 11(2), 117-136. <https://doi.org/10.61186/jsaeh.11.2.117> [In Persian]
- Mohammadi, H., Khazaei, M., Mahoutchi, M. H., & Abasi, E. (2016). Synoptic analysis of thermodynamics destructive thunderstorms Ahvaz. *Environmental Management Hazards*, 3(2), 155-170. doi: [10.22059/jhsci.2016.60744](https://doi.org/10.22059/jhsci.2016.60744) [In Persian]
- Mohammadi, Z., & Lashkari, H. (2018). Effects of Spatial Movement of Arabia Subtropical High Pressure and Subtropical Jet on Synoptic and Thermodynamic Patterns of Intense Wet Years in the South and South West Iran. *Physical Geography Research*, 50(3), 491-509. doi: [10.22059/jphgr.2018.249422.1007165](https://doi.org/10.22059/jphgr.2018.249422.1007165) [In Persian]
- Mojarrad, F., Masompour, J., Koshki, S., & Miri, M. (2019). Temporal-Spatial Analysis of Thunderstorms in Iran. *Geographical Planning of Space*, 9(32), 213-232. doi: [10.30488/gps.2019.91873](https://doi.org/10.30488/gps.2019.91873) [In Persian]
- Pinto Jr, O., Pinto, I. R. C. A., & Ferro, M. A. S. (2013). A study of the long-term variability of thunderstorm days in southeast Brazil. *Journal of Geophysical Research: Atmospheres*, 118(11), 5231-5246. <https://doi.org/10.1002/jgrd.50282>
- Pizzuti, A., Soula, S., Mlynarczyk, J., Bennett, A., & Fullekrug, M. (2020, March). Analysis of sprite events during small-scale winter thunderstorms in northern Europe. In *EGU General Assembly Conference Abstracts* (p. 20065). <https://doi.org/10.5194/egusphere-egu2020-20065>
- Pustil'nik, L. A., & Din, G. Y. (2004). Influence of solar activity on the state of the wheat market in medieval England. *Solar physics*, 223, 335-356. <https://doi.org/10.1007/s11207-004-5356-5>
- Tafferner, A., Forster, C., Hagen, M., Keil, C., Zinner, T., & Volkert, H. (2008). Development and propagation of severe thunderstorms in the Upper Danube catchment area: Towards an integrated nowcasting and forecasting system using real-time data and high-resolution simulations. *Meteorology and Atmospheric Physics*, 101, 211-227. <https://doi.org/10.1007/s00703-008-0322-7>
- Taszarek, M., Allen, J. T., Groenemeijer, P., Edwards, R., Brooks, H. E., Chmielewski, V., & Enno, S. E. (2020). Severe convective storms across Europe and the United States. Part I: Climatology of lightning, large hail, severe wind, and tornadoes. *Journal of Climate*, 33(23), 10239-10261. <https://doi.org/10.1175/JCLI-D-20-0345.1>